

北海道大学工学部

正会員

吉田 静男

① 二層内に発生する波動伝播速度の方程式

ここでは、意図的に造られた内部波の伝播速度を実測し理想化された二層モデルをもとにして求めた二層系波動伝播速度の式が与える結果との比較を試み、さらに式のもつ物理的な性質についても若干考察される。

波動は正弦波とし、考る流体場は $\Delta\phi=0$ が成立するものとする。 $\Delta\phi=0$ を満足するためには、 $\phi=(A_1 e^{i\omega t} + A_2 e^{-i\omega t}) e^{im(x-ct)}$ を採用することにする。流速分布については、短波の場合に可成問題となるであろうが、一応上下層共鉛直方向に一様であるとしてよい。考る波動が無限小であれば、二層系でも N 層系でも各境界面での運動条件、力学条件は同じ考え方ができる故、しばらくの間、Fig.1 に示す様な N 層系を考察することにする。n+1 番目の境界 $y=-h_{n+1}$ で次の運動条件、力学条件が成立する。

$$\partial\eta_{n+1}/\partial t + U_{n+1}(\partial\eta_{n+1}/\partial x) = -\partial\phi_n/\partial y \quad \dots(1)$$

$$\partial\eta_{n+1}/\partial t + U_{n+1}(\partial\eta_{n+1}/\partial x) = -\partial\phi_{n+1}/\partial y \quad \dots(2)$$

$$P_n(\partial\phi_n/\partial t) + P_n U_{n+1}(\partial\phi_n/\partial x) - P_n g \eta_{n+1} \quad \dots(3)$$

$$= P_{n+1}(\partial\phi_{n+1}/\partial t) + P_{n+1} U_{n+1}(\partial\phi_{n+1}/\partial x) - P_{n+1} g \eta_{n+1} + T_{n+1}(\partial h_{n+1}/\partial t)$$

ただし最上層の上限は無限遠とし最下層底部は固体壁で速度は零である。こうすることにより ϕ_1 及び ϕ_n の任意定数をそれぞれ 1 個にすることができる。ここで二層系にとどると、上記方程式は次のとく表わせる。

$$\begin{bmatrix} 1 & \alpha_1 & 0 & 0 & 0 & 0 \\ 0 & \alpha_1 & -\delta_1 & -\alpha_2 & 0 & 0 \\ 0 & 0 & 1 & -1 & 0 & 0 \\ 0 & 0 & \delta_2 e^{mh_2} & \delta_2 e^{mh_2} & -\delta_2 & -\alpha_3 \delta_2 \\ 0 & 0 & e^{mh_2} & -e^{mh_2} & \alpha_2 & 0 \\ 0 & 0 & 0 & 0 & \alpha_3 & \alpha \end{bmatrix} \begin{bmatrix} A_1 \\ H_1 \\ A_{21} \\ A_{22} \\ H_2 \\ A_3 \end{bmatrix} = 0 \quad \dots(4)$$

ここで最上層の値は小さいとして $\delta_1=0$, $\alpha_1=0$, $T_{n+1}=0$ とおけば波速の式は係数行列式 A を零とおくことによって次の様に得ることができる。

$$A = \delta_2 \alpha_2^2 + (\alpha_2^2 d_1 d_2 - \delta_2 d_1 d_1 - \delta_2 d_1 d_2) \alpha_2^2 - \delta_1 \alpha_2^2 d_2 + \delta_1 \delta_2 = 0 \quad \dots(5)$$

$$(5) 式より \alpha_2^2 = (1/2\delta_2) [-d_1 \{ (\alpha_2^2 d_2 - \delta_2) - \delta_2 \delta_1 \} \pm \sqrt{d_1^2 \{ (\alpha_2^2 d_2 - \delta_2) + \delta_2 \delta_1 \}^2 + 4 \delta_1 \delta_2}] \quad \dots(6)$$

この段階で $m h_2 \ll 0$, $m h_2 \gg 0$ をおけば、それと長波、短波に関する式が得られることはいうまでもない。(5)式の一般的な性質を調べるために、C について陽に書き直すと、次式が得られ、浜田・加藤式による波速式と一致する。

$$\begin{aligned} & \{(1-\varepsilon) + d_1 d_2\} C^4 - 2 \{2(1-\varepsilon) U_{20}^2 (U_{20} + U_{30}) d_1 d_2\} C^3 + \{6(1-\varepsilon) U_{20}^2 + \{(U_{20} + 2U_{30})^2 - 3U_{30}^2\} d_1 d_2 - (g/m)(d_1 + d_2)\} C^2 \\ & - 2 \{2U_{20}^3(1-\varepsilon) + U_{20} U_{30} (U_{20} + U_{30}) d_1 d_2 - (g/m)(U_{20} d_1 + U_{30} d_2)\} C + \{U_{20}^2(1-\varepsilon) + U_{20}^2 U_{30}^2 d_1 d_2 - (g/m)(U_{20}^2 d_1 + U_{30}^2 d_2) + \varepsilon(g/m)^2\} = 0 \quad \dots(7) \end{aligned}$$

A: 意定数	H: 振幅	T: 界面張力	a :=
$\sinh m(h_3 - h_2)$	$\cosh m(h_3 - h_2)$	C: 波速	d_1 :
$\coth m h_2$	$\coth m(h_3 - h_2)$	d_2 :	$\tanh m(h_3 - h_2)$
$\alpha_m: U_{m+1} - C$	$\beta_m: P_m / P_{m+1}$	$\delta_m: \{ (P_{m+1} - P_m) g/m + T_{m+1} m \} / P_{m+1}$	$\varepsilon: 1 - P_2 / P_3$
$\eta_m: H_m e^{im(x-ct)}$	$\eta_m: H_m e^{im(x-ct)}$	$\eta_m: H_m e^{im(x-ct)}$	$\eta_m: H_m e^{im(x-ct)}$
Suffix n: n 層又は n 番目の境界の量	P 密度		

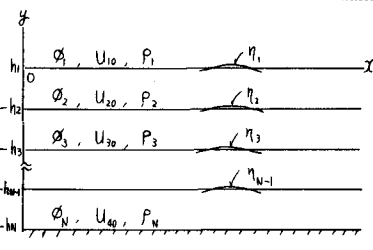


Fig.1

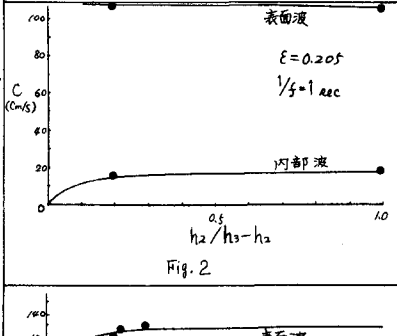


Fig.2

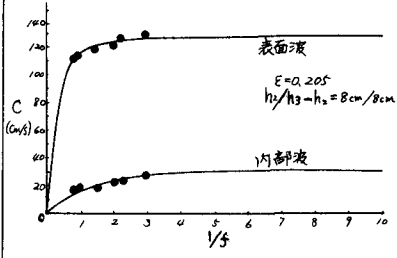


Fig.3

② (7)式の一般的性質

i) $U_{20} = U_{30} = 0$ の場合

この場合、(7)式は $\{(1-\varepsilon) + d_1 d_2\} C^4 - (g/m)(d_1 + d_2)C^2 + \varepsilon(g/m)^2 = 0$ となるが、一例として、 $\varepsilon = 0.205$, $1/f = 1s$ の場合について、C 对 $h_2/h_3 - h_2$ の関係を図示すれば Fig.2 となる。(以下図中実線カーブは計算値を示す。) さらに、 $\varepsilon = 0.205$, $h_2/h_3 - h_2 = 8cm/8cm = 1$ の場合について C 对 $1/f$ の関係を求めるに、Fig.3 となり、 $h_2/h_3 - h_2 = 8cm/8cm = 1$ の場合について C 对 ε の関係を求めるに Fig.4 となる。これらの計算結果から、有限水深の場合には $h_2/h_3 - h_2 = 1$ 及び $1/f = \infty$ で内部波が最大となり、 $h_2/h_3 - h_2 = 1 \sim 0.3$, $1/f > 3s$ では、ほぼ一定の波速になってしまふこと、及び 0 については (i) とんど直線的に $\varepsilon = 0$ から $\varepsilon = 1$ にかけて、増大することが分かる。特に、この C 对 ε の関係は特徴的であり注目に値する。少し見方を変えて ε をパラメータとして、C 对 $1/f$ の関係を示したもののが Fig.5 であるが、これによれば ε の効果は、放物形の開きを規定するものといえる。

ii) $U_{20} \times U_{30} \neq 0$ の場合

この場合 U_{20} , U_{30} の値が、i) に述べた特徴的根本を変えてしまうことはほとんどないが、波速そのものには大きさの影響を与えることになる。特に $|U_{20} - U_{30}| \neq 0$ の場合には、全く別種の、波動の振幅を単調に変化させる効果、いわゆる Helmholtz の不安定²⁾を生じさせる。この様子を示したのが Fig.6 であり、 $|U_{20} - U_{30}|$ が大なるほど、カーブは C 軸を離れ右下に移行し、ある入射に対して実数解を持たない領域 (Helmholtz 不安定領域) を生じてしまうことが分かるであろう。 $(U_{20} - U_{30})$ の絶対値だけでなく、その符号を考慮することも重要である。今 $(U_{20} - U_{30}) > 0$ なる場合 (7) 式を満足する重根 C_i があるとしよう。次に $(U_{20} - U_{30}) < 0$ とおくと (7) 式のうち奇数中の C の係数のみ符号を変えてしまうから、 $-C_i$ が根となり以前同様重根である。つまり波速は C から $-C_i$ に変わってしまうが重根のままであり、Helmholtz の不安定条件が $|U_{20} - U_{30}|$ にのみ関係することが分かる。一例として、 $\varepsilon = 0.029$, $h_2/h_3 - h_2 = 2.2cm/2.2cm = 1.0$ の場合について、 $|U_{20} - U_{30}|$ 及び入射を使用して、Helmholtz の不安定領域を示すと Fig.7 のごとくなる。

③ 実験結果及び解析

水槽は $10cm \times 25cm \times 70cm$ の透明アクリル樹脂製であり、流体は淡水、塩水、煤油を用いた。造波は主として、境界面におかれた物体を振動させることにより発生させ、波面のプローブは波を通過した平行光線を直接印画紙に焼き付ける方法とされた。この shadowgraph から波長を読み取り、振動数をかけて求めた C が Fig.2 ～ 7 中のプロットである。データーは、ほとんど中間波に属するものであるが、実測値と計算値の一一致度は良いといえる。しかし特に問題をかかえている短波側のデーターがあまりにも少なく、波長全域にわたる考察は今後の課題として残さざるを得ない。Fig.7 のプロットは、その点における波長入の内部波が、同じ点の $|U_{20} - U_{30}|$ カとどで存在していたことを示すものであるが、特に Helmholtz 不安定領域に存在する数個の内部波には注目すべきであろう。結びにあたり、数值計算を數多くしていただいた北大工学部技官藤 嘉宏氏に深く感謝の意を表します。

1) 浜田・加藤： 第9回海岸工学講演会講演集(1962).

2) Lamb, H.: Hydrodynamics 6th. ed. p.374.

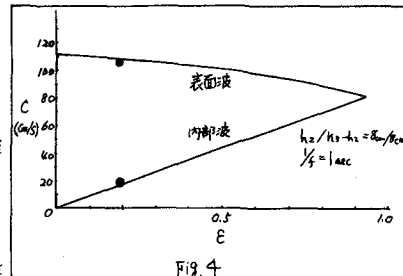


Fig. 4

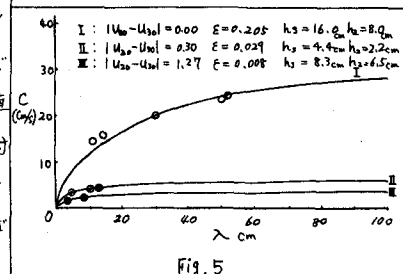


Fig. 5

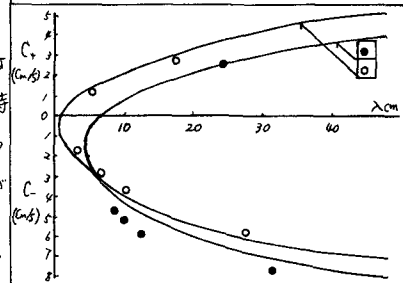


Fig. 6

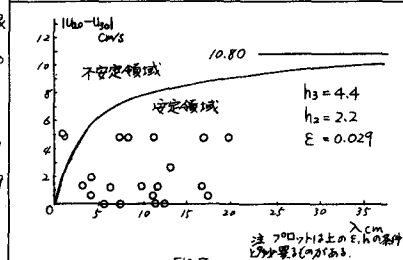


Fig. 7